

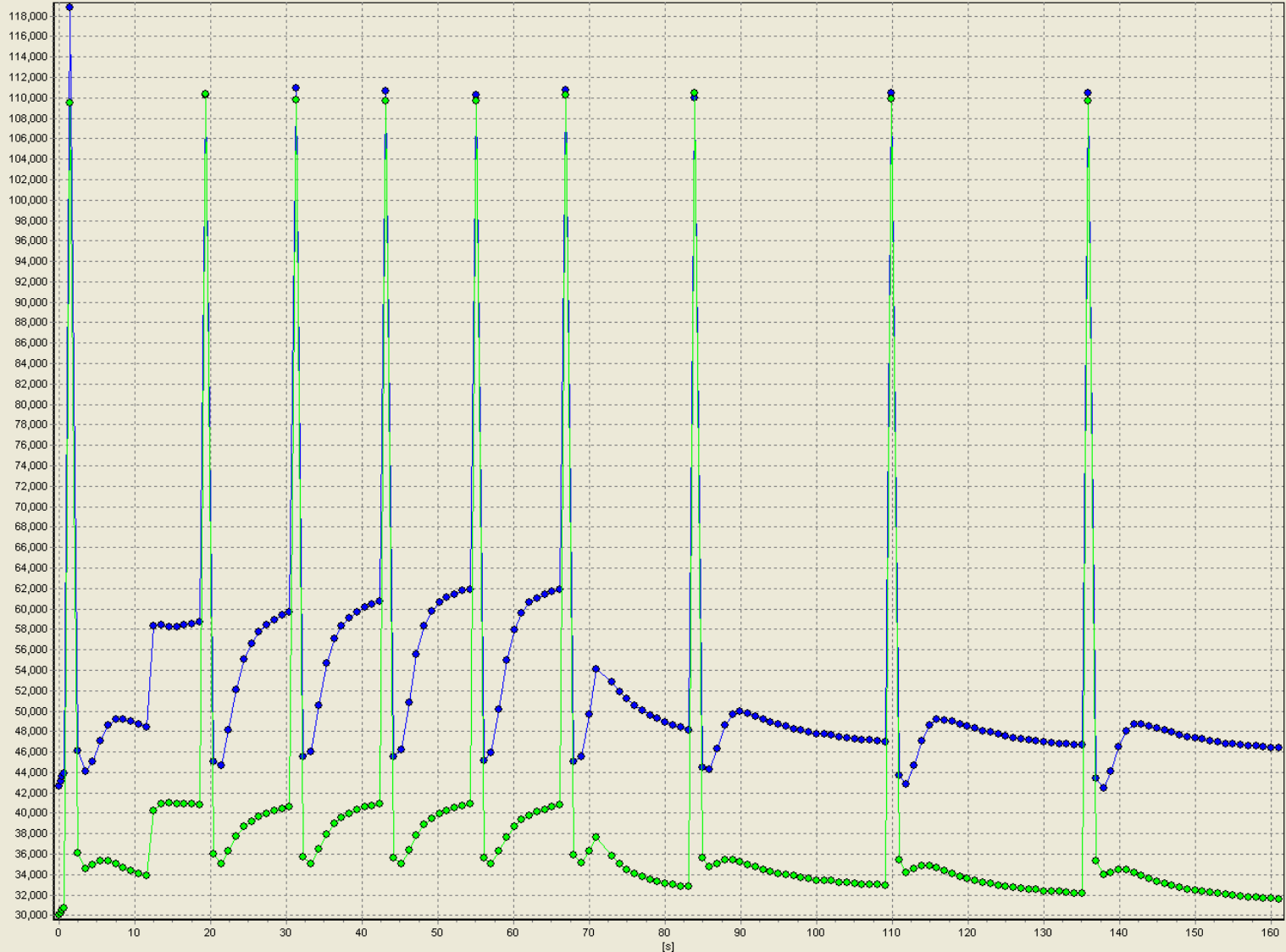
Analýza vlivu DCMU a MV na PSII procesy

M. Barták

Jaro 2014



- 13:58:34 29.4.2014
- 14:09:31 29.4.2014
- 14:18:02 29.4.2014
- 14:27:12 29.4.2014
- 14:36:28 29.4.2014



Logarithmic

On/Off

Data Notes Graph:13:58:34 29.4.2014

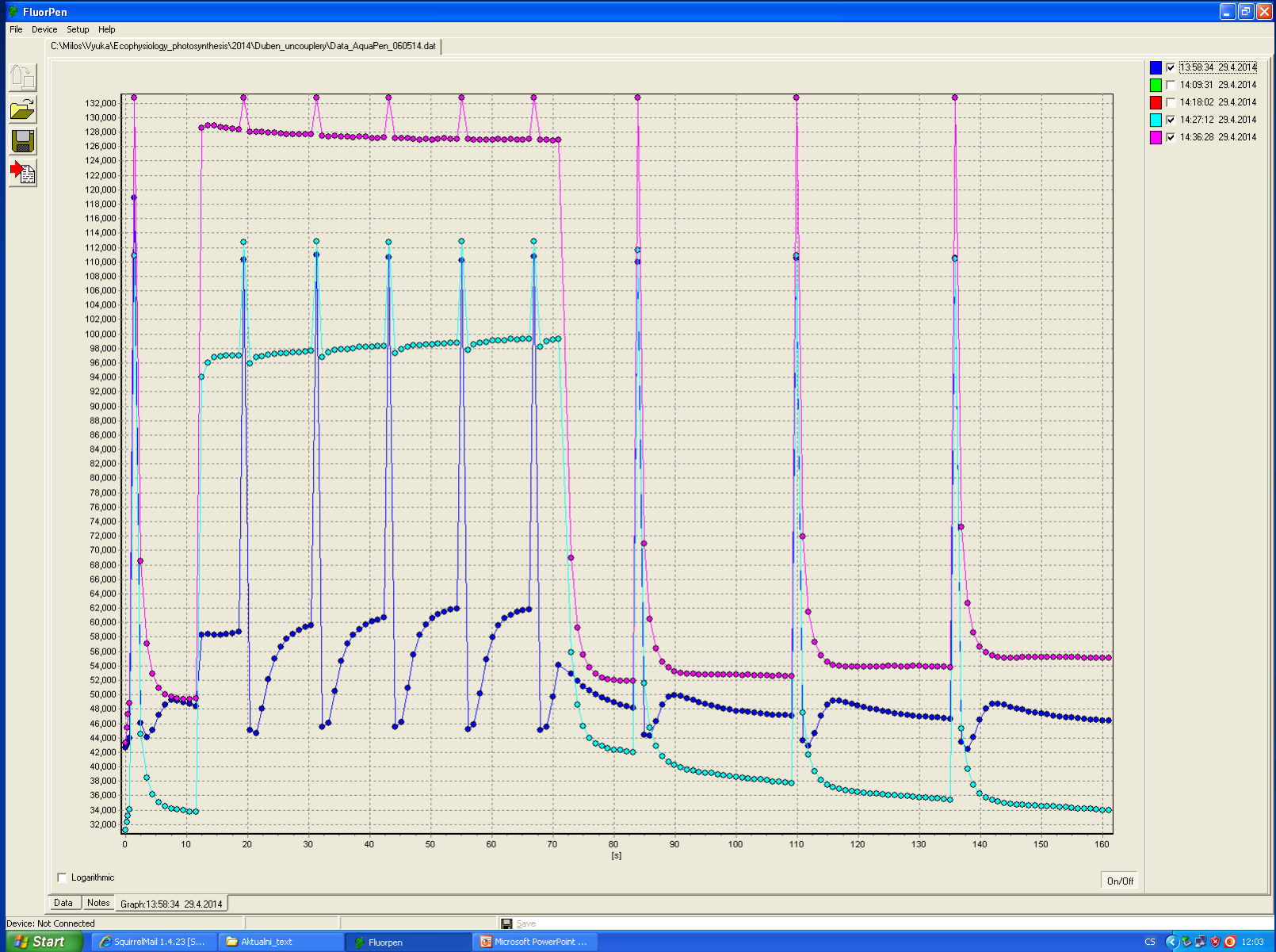
C:\Milos\Wyuka\Ecophysiology_photosynthesis\2014\Duben_uncoupler\Data_AquaPen_060514.dat

 Logarithmic

On/Off

Data Notes Graph:13:58:34 29.4.2014

Vliv MV



	9	10	11	12	13				
	13:58:34 29.4.2014	14:09:31 29.4.2014	14:18:02 29.4.2014	14:27:12 29.4.2014	14:36:28 29.4.2014				
	NPQ1-450	NPQ1-450	NPQ1-450	NPQ1-450	NPQ1-450				
Fo	42687	Fo	30040	Fo	49352	Fo	31211	Fo	43337
Fm	118828	Fm	109465	Fm	132710	Fm	110798	Fm	132742
Fp	58390	Fp	41029	Fp	132807	Fp	96980	Fp	128906
Fm_L1	110278	Fm_L1	110408	Fm_L1	132710	Fm_L1	112748	Fm_L1	132742
Fm_L2	110960	Fm_L2	109757	Fm_L2	132742	Fm_L2	112813	Fm_L2	132710
Fm_L3	110668	Fm_L3	109725	Fm_L3	132742	Fm_L3	112683	Fm_L3	132710
Fm_L4	110245	Fm_L4	109724	Fm_L4	132710	Fm_L4	112781	Fm_L4	132742
Fm_Lss	110732	Fm_Lss	110278	Fm_Lss	132710	Fm_Lss	112878	Fm_Lss	132710
NPQ_L1	0.08	NPQ_L1	-0.01	NPQ_L1	0.00	NPQ_L1	-0.02	NPQ_L1	0.00
NPQ_L2	0.07	NPQ_L2	-0.00	NPQ_L2	-0.00	NPQ_L2	-0.02	NPQ_L2	0.00
NPQ_L3	0.07	NPQ_L3	-0.00	NPQ_L3	-0.00	NPQ_L3	-0.02	NPQ_L3	0.00
NPQ_L4	0.08	NPQ_L4	-0.00	NPQ_L4	0.00	NPQ_L4	-0.02	NPQ_L4	0.00
NPQ_Lss	0.07	NPQ_Lss	-0.01	NPQ_Lss	0.00	NPQ_Lss	-0.02	NPQ_Lss	0.00
Qp_L1	0.75	Qp_L1	0.87	Qp_L1	-0.00	Qp_L1	0.19	Qp_L1	0.05
Qp_L2	0.74	Qp_L2	0.87	Qp_L2	0.00	Qp_L2	0.19	Qp_L2	0.06
Qp_L3	0.72	Qp_L3	0.86	Qp_L3	-0.00	Qp_L3	0.18	Qp_L3	0.06
Qp_L4	0.70	Qp_L4	0.86	Qp_L4	-0.00	Qp_L4	0.17	Qp_L4	0.06
Qp_Lss	0.84	Qp_Lss	0.93	Qp_Lss	-0.00	Qp_Lss	0.24	Qp_Lss	0.09
Rfd	-0.06	Rfd	0.01	Rfd	0.00	Rfd	-0.02	Rfd	0.01
Fm_D1	109952	Fm_D1	110473	Fm_D1	132742	Fm_D1	111578	Fm_D1	132742
Fm_D2	110505	Fm_D2	109855	Fm_D2	132742	Fm_D2	110830	Fm_D2	132742
Fm_D3	110505	Fm_D3	109692	Fm_D3	132742	Fm_D3	110440	Fm_D3	132742
NPQ_D1	0.08	NPQ_D1	-0.01	NPQ_D1	-0.00	NPQ_D1	-0.01	NPQ_D1	0.00
NPQ_D2	0.08	NPQ_D2	-0.00	NPQ_D2	-0.00	NPQ_D2	-0.00	NPQ_D2	0.00
NPQ_D3	0.08	NPQ_D3	-0.00	NPQ_D3	-0.00	NPQ_D3	0.00	NPQ_D3	0.00
Qp_D1	0.90	Qp_D1	0.97	Qp_D1	0.91	Qp_D1	0.87	Qp_D1	0.90
Qp_D2	0.92	Qp_D2	0.96	Qp_D2	0.91	Qp_D2	0.92	Qp_D2	0.90
Qp_D3	0.93	Qp_D3	0.97	Qp_D3	0.90	Qp_D3	0.95	Qp_D3	0.88
QY_max	0.64	QY_max	0.73	QY_max	0.63	QY_max	0.72	QY_max	0.67
QY_L1	0.47	QY_L1	0.63	QY_L1	-0.00	QY_L1	0.14	QY_L1	0.03
QY_L2	0.46	QY_L2	0.63	QY_L2	-0.00	QY_L2	0.13	QY_L2	0.04
QY_L3	0.45	QY_L3	0.63	QY_L3	-0.00	QY_L3	0.13	QY_L3	0.04
QY_L4	0.44	QY_L4	0.63	QY_L4	-0.00	QY_L4	0.12	QY_L4	0.04
QY_Lss	0.44	QY_Lss	0.63	QY_Lss	-0.00	QY_Lss	0.12	QY_Lss	0.04
QY_D1	0.56	QY_D1	0.70	QY_D1	0.57	QY_D1	0.62	QY_D1	0.61
QY_D2	0.57	QY_D2	0.70	QY_D2	0.57	QY_D2	0.66	QY_D2	0.60
QY_D3	0.58	QY_D3	0.71	QY_D3	0.57	QY_D3	0.68	QY_D3	0.59